

ормації в ЕОМ наведена на рис. 2. до зубця $R - R$ ЕКГ, потім координати по команді K_1 програми введені. А. Введення в ЕОМ коду, який відповідає зупинці ЕОМ і переведенні. Після запису кодів, які відповідають свій інтервал T_i , який записується (ресою командою «запис другого ранго ЕОМ «Промінь»), а значення координат зубця записується в комірку A . Потім адреса для наступного часовогого та закінчення введення інформації за результатом порівняння сформованої кожного наступного інтервалу з T_i , представленим в адресній формі, заданих інтервалів не більше 79). Число інтервалів менше заданого, нічим, пишуче перо переводиться у чистого зубця і так доти, поки не необхідне число зубців $R - R$ ЕКГ. Програми обробки в певній ячейці є сума всіх інтервалів. Слід відповісти кожного переміщення стрічки ускользається з команди K_1 . Після занесення інформації в ЕОМ здійснюються статистичних показників серцевого мулами, наведеними вище.

Ця з ЕОМ виводиться у вигляді таблиці. Для виведення інформації з ЕОМ

схема програми введення інформації в ЕОМ.

Інший самописець [7] разом з двома еруванням електромагнітів пищучого прорівачів 5, 6 може надійти досить роботи самописця в його схемі буде з реохордів $1 - R_{10}$, $1 - R_{26}$ інді трансформатори 1-тр, 2-тр, одна. Перетворювачі 5, 6 розраховані на комою, оскільки ЕОМ «Промінь» не коди з фіксацією комою.

Динамічним діапазоном перевіріння M_x , M_y по осіх координат

що відповідають необхідним розмірам держаної інформації.

Ця послідовне обчислення координат може бути зведено до таких: а) на перетворювач 5; б) видача 5; в) опускання пищучого пера, що зустрічається в блоку 3. а застосована нами для діагностики Чутливість статистичних показників навантаження. Найбільш чутливими ростаючі навантаження виявилися: артерії CV і процент переважання

М. П. Адаменко, О. Б. Дащевський, Д. Р. Дімант, В. С. Мосієнко, В. Г. Ніколаєв, Е. Р. Счастливцева

Інститут проблем онкології АН УРСР, Київ;
Інститут фізіології ім. О. О. Богомольця АН УРСР, Київ

4. Жемайтіте Д. И.— В кн.: Математич. методы анализа сердечн. ритма, М., 1968, 80.
5. Лихницкая И. И.— Оценка состояния функции систем при определении трудоспособности, М., «Медгиз», 1966.
6. Малиновский Б. Н. и др.— Основы проектирования управляемых машин промышленной назнач., М., «Машгиз», 1969.
7. Никулина Г. А.— В кн.: Математич. методы анализа сердечн. ритма, М., 1968, 24.
8. Орнатский П. П.— Автоматич. измерения и приборы, К., «Вища школа», 1971.
9. Парин В. В., Баевский Р. М., Емельянов М. Д., Хазен И. М.— Очерки по космич. физиол., М., «Медицина», 1967.
10. Парин В. В., Баевский Р. М.— Введение в мед. кибернетику, М., 1966, 164.
11. Парин В. В., Баевский Р. М., Волков Ю. Н., Газенко О. Г.— Космич. кардиология, М., «Медицина», 1967.
12. Пупко И. Д., Долгов В. К., Тартаковский М. Б.— В кн.: Проблемы вычислительной диагностики, М., 1969, 41.
13. Румшицкий Л. З.— Математич. обработка результатов эксперимента, М., «Наука», 1971.
14. Сумароков А. В., Монсеев В. С., Кулниковский С. И.— В кн.: Нарушение ритма сердца, М., 1967, 136.
15. Трошихин В. А., Козлова Л. Н., Крученко Ж. А., Сиротский В. В.— Формирование и развитие основных свойств типа высш. нервн. деят. в онтогенезе, К., «Наукова думка», 1971.
16. Янушкевичус З. И., Гарабаускас В. И., Жемайтите Д. И.— В сб.: Ритм сердца в норме и патол., Паланга, 116.
17. Distel R., Elliot G.— J. Physiol. (Paris), 1961, 55, 328.
18. Eleisch A., Beckmann R.— Z. ges. exp. Med., 1932, 80, 487.
19. Jordan H.— Arch. Creisl.— forsch., 1954, 2140.
20. Simborg D., Ross R., Lewis K. et al.— JAMA, 1966, 197, 145.

Надійшла до редакції
17.XI 1972 р.

УДК 616.12—008.64

АДАПТИВНИЙ НАОСС ДЛЯ ШТУЧНОГО КРОВООБІГУ

М. П. Адаменко, О. Б. Дащевський, Д. Р. Дімант,
В. С. Мосієнко, В. Г. Ніколаєв, Е. Р. Счастливцева

Інститут проблем онкології АН УРСР, Київ;
Інститут фізіології ім. О. О. Богомольця АН УРСР, Київ

Під час штучного кровообігу виникають ситуації, що вимагають змін режими роботи насосів перфузійного апарату [3]. При цьому необхідна кореляція здійснюється вручну або за допомогою складної автоматики.

Нами запропонована проста конструкція діафрагмального пневматичного насоса [1], частота пульсації і хвилинний об'єм якого зв'язані за визначенням заздалегідь законом з опором венозної та артеріальної магістралі. Цей зв'язок дозволяє автоматично обирати адекватні режими штучного кровообігу залежно від умов, що визначаються станом перфузованого об'єкта.

Конструктивно насос (рис. 1) складається з гвинта (1), пружини (2), мембрани (3), регульованих дроселів (4, 5), сопла (6), тягнутої пружини (7), мембрани (8), артеріального (9) та венозного (10) клапанів. Згадані елементи при складанні насоса утворюють в його корпусі камери A , B , C .

Постійний потік газу з балона надходить через дросель (4) у камеру (B). Тиск, який створюється при цьому, розтягує пружину (7) та мембрани (8), завдяки чому об'єм камери (C) зменшується і кровозамінник або кров через клапан (9) з неї вищтовхується. Як тільки зростаючий в камері (B) тиск зрівноважить зусилля, яке створюється пружиною (2), мембрана (3) відіде від сопла (6) і газ почне надходити з камери (B) в камеру (A), виходячи потім через дросель (5) назовні. Динаміка руху газу в камері (A) досить своєрідна (рис. 2, a). В першій, дуже незначній за часом фазі відбувається скидання надлишку тиску в камері (B), яке зв'язано з коротким, але потужним потоком газу через камеру (A) і дросель (5), що відповідає початковій частині кривої на рис. 2, a. Сила, яка протидіє пружній тязі мембрани (8), пружини (7) і артеріальному підпору, зникає, і мембрана (8) починає рухатися угору. Внаслідок цього клапан (9) закривається, а клапан (10) відкривається і починається всмоктування крові

в камеру (С) з венозної магістралі. Ємність камери (В) зменшується і газ з неї вищтовхується через сопло (6) в камеру (А). Виникаючий при цьому потік підсумовується з постійним потоком, що надходить через дросель (4), завдяки чому в камері (А) створюється невеликий тиск, який залежить від опору дроселя (5). Тиск, що створюється при цьому, достатній для того, щоб, діючи на велику площину мембрани (3), утримати сопло (6) у відкритому стані. Таким чином, сопло (6), камера (А) і мембрана (3) складають пневматичний підсилювач.

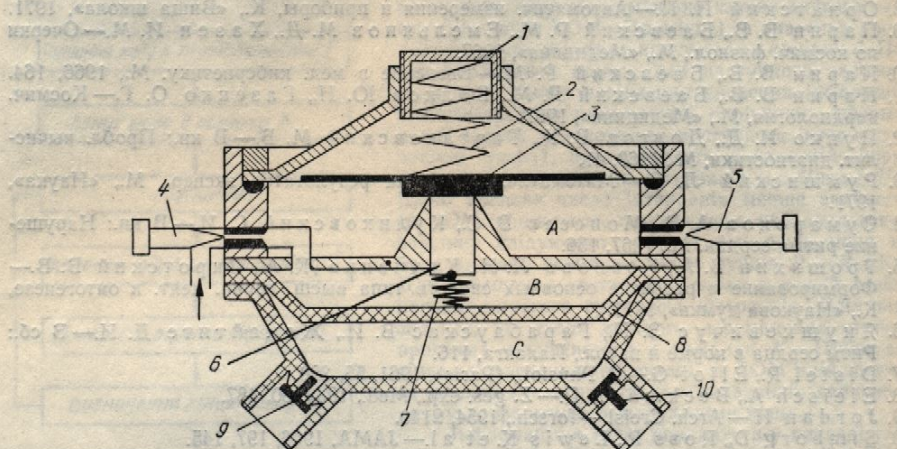


Рис. 1. Схема аддативного насоса.
 1 — прижимний гвинт, 2 — прижимна пружина, 3 — мембра пневматичного підсилювача, 4 — дросель на вході газу — 5 — дросель на виході газу, 6 — тягуча пружина, 8 — мембра, 9 — артеріальний клапан, 10 — венозний клапан. А — керуюча камера, В — підмембраний камера, С — камера крові.

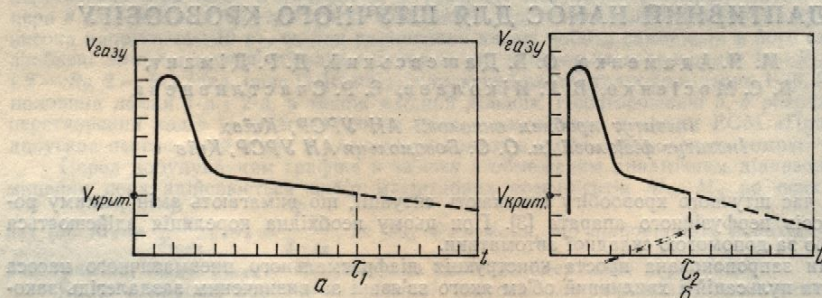


Рис. 2. Динаміка витікання (а) газу через камеру (A) при малому опорі венозої магістралі та витікання (б) газу через камеру (A) при підвищенні опору венозої магістралі.

V газу — об'ємна швидкість витікання газу, t_1 , t_2 — моменти закриття сопла (6) при досягненні критичної швидкості витікання газу (V крит.).

Оскільки швидкість опорожнення камери (*B*) завдяки підвищенню від'ємного тиску при всмоктуванні крові в камеру (*C*) і зменшенню тяги пружини (7), повільно знижується, то сумарний потік газу через камеру (*A*) а отже й тиск, що піднімає вгору мембрани (3), також знижується (плавна частинка кривої на рис. 2, *a*).

В той момент, коли тиск у камері (A) стає недостатнім, щоб утримати мембрани (3) у верхньому положенні (критична точка, момент t_1 , на рис. 2, a), сопло (6), під дією пружини (2), закривається і починається описана вище нагнітальна фаза. Ритм роботи насоса залежить від тиску пружини (2) на мембрани (3), тобто від положення гвинта (1), який притискує пружину; від швидкості подачі газу, яка регульється перемінним дроселем (4); від опору дроселя (5); від тяги пружини (7); а також від опору венозної та артеріальної магістралей.

Адаптивний насос для штучного кро

Варіюючи перші чотири факт жим пульсуючого кровотоку з удар чається емністію камери (C) та ду лях — від 30 до 600 за 1 хв). Це р піших об'єктів.

Адаптація насоса до змін ста-
зв'язків між режимом його роботи
якихось причин зменшується надто,
то завдяки черговому всмоктуванню
смоктування стінок вени до отворів
тому, що сила пружини (7) залиша-
то збільшення опору зменшує швид-
кого ходу мембрани (8), а значить
опорожнення камери (B). Критична
ється вже не в момент t_1 , а в моме-
нти більш короткий строк (рис. 2, б). Се-
вається і починається нагнітальна д

Рис. 3. Розміри хвилинної продуктивності пульсацій залежно від величини тиску при змінному опорі у венозі Q мл/хв — хвилинна продуктивність, ф

ним ударним об'ємом. Таким чином, зростає, а ударний об'єм зменшує збільшення частоти не настільки зна-
Зниження ударного об'єму запобіга ворів каникул, а підвищення частоти наявнії прохідні перерізки магістрал венозної магістралі при незмінному

Змінюючи подачу газу через нахил, форму і положення кривої на ному конкретному випадку.

Різкі перепади від'ємного тиску можливі, тому що швидкість руху молекул зменшується, потік газу через сітку починає зупинятися. Завдяки верхньому положенню, а кількість країв за рахунок зменшення об'єму камери.

При підвищенні опору в арте-
вніз зменшується і достатній для в-
ступені спорожнення камери (C). У
таке, але не в такому розмірі, щоб
з цим хвилинна продуктивність змен-
шалася. Можна залявати заладігель-

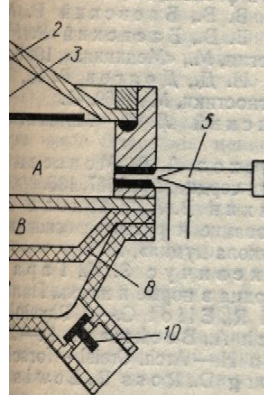
Підвищення периферичного оподиху камери (C) і об'єм крові, що рахунок її депонування в цій камері. І в якому насосні функції камери (D) колектора, що заповнюється кров'ю при його зниженні

Швидкі коливання також істотні

Наприклад, в режимі паралельної стиски і прискорює його під час дії.

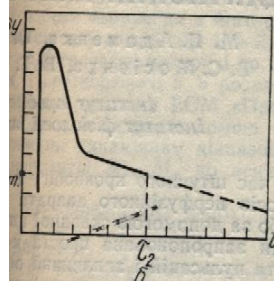
Якщо замінити пружину (2) на лістю зусилля, то тим самим можна змінити фазу насосного циклу. Ця обставина дозволяє використання цієї кінцевої конструкції для обробки деревини.

ери (B) зменшується і газ з неї вищтовочний при цьому потік підсумовується з (4), завдяки чому в камері (A) створюється дроселя (5). Тиск, що створюється велику площа мембрани (3), утримати сопло (6), камера (A) і мембрana (3)



насоса.

1, 3 — мембра пневматичного дросель на вихіді газу, 6 — соптєріальний клапан, 10 — венозна камера, С — камера для



меру (A) при малому опорі венозної камери (A) при підвищенні тиску.

— моменти закриття сопла (6) при аперації газу (V крит.).

3) завдяки підвищенню від'ємного тиску (4) тяги пружини (7), повільно відкривають сопло (6), підсилюючи тиск, що піднімає вгору мембрани (3).

едостатнім, щоб утримати мембрани від'ємного тиску (4), сопло (6), підсилюючи тиск, що піднімає вгору мембрани (3), тобто від положення подачі газу, яка регулюється перегородкою (7); а також від опору

Варіюючи перші чотири фактори, практично можна одержати який завгодно режим пульсуючого кровотоку з ударним об'ємом від нуля до максимального, що визначається ємністю камери (C) та дуже широким діапазоном частот (в дослідних моделях — від 30 до 600 за 1 хв). Це робить насос придатним для перфузії найрізноманітніших об'єктів.

Адаптація насоса до змін стану перфузованого об'єкта відбувається за рахунок зв'язків між режимом його роботи і опором венозного та артеріального русла. Якщо в якихось причин зменшується надходження крові в магістральну вену, з якої її беруть, то завдяки черговому всмоктуванню крові в насос, створюється підвищений тиск і присмоктування стінок вени до отворів канюл. Опір венозній магістралі зростає. Завдяки тому, що сила пружини (7) залишається такою ж, то збільшення опору зменшує швидкість зворотного ходу мембрани (8), а значить, і швидкості опорожнення камери (B). Критична точка досягається вже не в момент t_1 , а в момент t_2 , тобто за більш короткий строк (рис. 2, б). Сопло (6) закривається і починається нагнітальна фаза із зменшеною

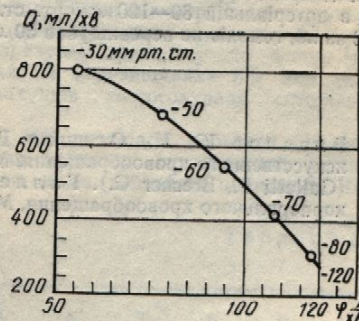


Рис. 3. Розміри хвилинної продуктивності і частоти пульсацій залежно від величини від'ємного тиску при змінному опорі у венозній магістралі.
 Q мл/хв — хвилинна продуктивність, φ 1/хв — частота.

ним ударним об'ємом. Таким чином, при збереженні подібної ситуації, частота пульсацій зростає, а ударний об'єм зменшується. Знижується також і хвилинний об'єм, оскільки збільшення частоти не настільки значне, щоб компенсувати зменшення ударного об'єму. Зниження ударного об'єму запобігає спаданню вени і присмоктуванню її стінок до отворів канюл, а підвищення частоти пульсацій дозволяє більш ефективно використати наявні прохідні перерізки магістралей. Залежність частоти і продуктивності від опору венозній магістралі при незмінному опорі артеріальної магістралі наведені на рис. 3.

Змінюючи подачу газу через дросель (4) і тяги пружини (7), можна змінювати нахил, форму і положення кривої на рис. 3, обираючи тим самим зони адаптації в кожному конкретному випадку.

Різкі перепади від'ємного тиску, що травмують кров, у насосах подібного типу неможливі, тому що швидкість руху мембрани вгору при різкому збільшенні опору негайно зменшується, потік газу через сопло (6) стає критичним і фаза всмоктування змінюється фазою нагнітання. Завдяки цьому мембрана (8) не доходить до вихідного верхнього положення, а кількість крові, що знаходиться екстракорпорально, зменшується за рахунок зменшення об'єму камери (C).

Таким чином, якщо правильно обрати співвідношення між тягою пружини (7) і еластичними силами, які протидіють колапсу магістральної вени, то насос автоматично забезпечить в умовах змінного притоку крові максимально можливу продуктивність при мінімальних перепадах тиску.

При підвищенні опору в артеріальній магістралі швидкість руху мембрани (7) вниз зменшується і достатній для відкриття сопла (6) тиск досягається при меншому ступені опорожнення камери (C). Ударний об'єм зменшується, частота пульсацій зростає, але не в такому розмірі, щоб компенсувати падіння ударного об'єму. В зв'язку з цим хвилинна продуктивність зменшується за законом, який, як і в попередньому випадку, можна задавати заздалегідь.

Підвищення периферичного опору спричиняє те, що мембрана (8) не доходить до дна камери (C) і об'єм крові, що знаходиться екстракорпорально, збільшується за рахунок її депонації в цій камері. Внаслідок цього можливий конструктивний варіант, в якому насосні функції камери (C) співпадають з функціями автоматичного гемо-колектора, що заповнюється кров'ю при підвищенні судинного тонусу і спорожняється при його зниженні.

Швидкі коливання також істотно впливають на роботу насоса.

Наприклад, в режимі паралельної перфузії насос сповільнює свій вищтових під час систоли і прискорює його під час діастоли, продовжуючи тим самим природну систолу. Якщо замінити пружину (2) на пристрій, який задає змінне за частотою і тривалістю зусилля, то тим самим можна задати насосу довільний ритм і співвідношення фаз насосного циклу. Ця обставина робить описану конструкцію дуже зручною для використання її як кінцевого каскаду в бойкеваних апаратах штучного кровообігу.

Спроможність апарату до адаптації яскраво виражена, коли він включений у венозну або артеріальну магістралі, тобто коли умови виштовху (в оксигенатор), або всмоктування (з оксигенатора) стабільні.

Ситуації, що потребують одночасної адаптації до змін умов гемодинаміки в артеріальній і венозній системі, більш складні і потребують спеціального аналізу.

Описана конструкція викликає лише незначний гемоліз. Зважаючи на те, що основним джерелом гемолізу є механічне роздавлювання еритроцитів рухливими частинами насоса, вирішальним є той факт, що в одній точці камери (С) тиск між її поверхнями при їх стиканні одна з іншою не перевищує артеріального. В дослідах, що імітують восьмиденній штучний кровообіг за допомогою адаптивного насоса з швидкістю кровоструменя 100 мл/кг/хв при тиску у венозній магістралі — 30—50 мм рт. ст., а в артеріальній 80—120 мм рт. ст., при ударному об'ємі 14 мл та частоті пульсацій 72 за хв, гемоліз не перевищував 50 мг%.

Література

- Баранов Ю. Н., Осипов В. П.— В сб.: Современные вопросы гемодинамики искусственного кровообращения, М., «Медицина», 1966, 358.
- (Galletti P., Brecher G.). Галлетти П., Бричєр Г.— Основы и техника экстракорпорального кровообращения, М., «Медицина», 1966.

Надійшла до редакції
4.V 1972 р.

Вивчення кровообігу у внутрішніх органах мишей

ВИВЧЕННЯ КРОВООБІГУ У ВНУТРІШНІХ ОРГАНАХ МИШЕЙ З ДОПОМОГОЮ РАДІОАКТИВНОГО РУБІДІЮ

В. І. Кулінський, Л. І. Золочевська

Кафедра біохімії Красноярського медичного інституту;
кафедра медичної біохімії Українського інституту удосконалення лікарів, Харків

Методами прямого визначення об'ємного кровоструменя або електромагнітними вимірювачами потоку дуже важко користуватися на миших внаслідок малого розміру їх судин. Накопичення нейтрального червоного після внутрішнього введення [2—4] може залежати не тільки від кровоструменя, але й від проникності гісто-гематичних бар'єрів та сорбційних властивостей тканин. Крім того нещодавно було показано, що близькі дози нейтрального червоного у собак викликають різку і стійку гіперглікемію та виділення в кров глукагону та інсуліну [12]. В принципі найбільш вдалими індикаторами є радіоактивні речовини, оскільки їх можна застосовувати в мінімальних дозах, які не спричиняють побічного впливу на організм. Сапірстен [13] розробив методику визначення регіонарного кровоструменя із застосуванням K^{42} або Rb^{86} , які швидко проникають крізь судинну стінку і не включаються в обмінні процеси, на відміну від іона фосфату [2]. Методика Сапірстена ґрунтуються на тому, що відносне нагромадження речовини в органі (у процентах до введеній кількості) відповідає відносному регіонарному кровоструменю, вираженому в процентах хвилинного об'єму. Проте це виявляється вірним тільки в тому випадку, коли існує часовий інтервал, протягом якого нагромадження речовини в даному органі є постійним, і дослід проводиться саме в цьому інтервалі [9, 13]. Нагромадження нейтрального червоного в більшості тканин не відповідає цьому важливому критерію [3], а для фосфату його не перевірвали. Результати, одержані з останніми двома речовинами, не завжди збігаються кількісно, а іноді мають якісні розбіжності. Так, 5-метокситріптамін збільшував нагромадження нейтрального червоного в м'язі мишей, а фосфат — різко знижував [2—4].

Нашим завданням було перевірити можливість застосування методики Сапірстена в дослідах на ненаркотизованих миших. При цьому були внесені певні зміни, що спростили оригінальну методику і дозволили провадити її на вітчизняній дозиметричній апаратурі. Описаний варіант можна застосовувати для вивчення кровоструменя у внутрішніх органах різних видів тварин. Оскільки визначення хвилинного об'єму у миший досить ускладнене, ми обмежилися вимірюванням відносного регіонарного кровоструменя, як це вже описано в літературі [14].

Для проведення дослідів ділявся тою, змоченою в гарячій воді. Потім ішлікаторний розчин $Rb^{86}Cl$ питом (50 мккюрі/кг). Через оптимальний ціями верхньої половини тубула на і промокали від крові фільтруваль тельно промивали 0,9%-ним $NaCl$ і рібновали пожицями до однорідного м'яза з тонкою кишкою; 60—100 кісток однієї — двох мишей) перен сцинтиляційного кристала $NaY(Tl)$, ційний у-лічильник з комплексу УСД реєстрували на перерахунковій сх забезпечує оптимальне відношення вимірювання обирали так, щоб в кісткового мозку) 10%. Для пра таблицю [5].

Rb^{86} зручніший для практичної періоду піврозпаду (18,7 діб прот торного розчину можна користуват (табл. 1).

Доба	1	2
Залишена частина, %	96,3	92,3
Доба	11	12
Залишена частина, %	66,6	64,2
Доба	21	22
Залишена частина, %	46,0	44,2

На нашій установці ефективність по відношенню до кількості розподілу (γ -промені виникають при 8,5% роз становила 4,6 і 54%. Показані лічильники $= 10^{-9}$ кюрі).

Добре відомо, що підготовка миціекільки багато в чому визначає ефективність методики. Описане розчленення тканини в консерваторії значно ускладнює методику, має істотного значення для великих жувати ефективність при малому розрівділось: при збільшенні об'єму розрахунку швидко знижувалась, осі на 25%, до 1 мл — на 41%). Отже, якщо вихідні наважки малі. Саме це розрівнення тваринами. Неможна буди оскільки їх вага варіє. Тому ми тканин. При нанесенні наважки на дно, що збігаються в межах статистичної ще 2,5%.

Отже, спрощення методики дозволяє. Проте залежність швидкості розрахунку від маси проби щоразово відповідає взятій наважці (при умовах розрахованій регіонарний кровообіг).

Розрахунок результатів проводиться за формулою:

$$\frac{n_x \cdot 100}{n_{ct} \cdot P \cdot v} \% \quad (\text{хвилинного об'єму на}$$